

CHƯƠNG 2

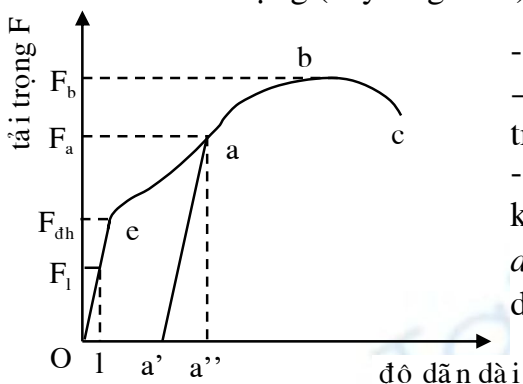
BIẾN DẠNG DẺO VÀ CƠ TÍNH

Đa số vật liệu u, đặc biệt là kim loại i, thường được bán dưới dạng các bản thành phẩm dưới dạng: dây, thanh, hàn, ống, tấm, lá, băng... nhờ biến dạng dẻo (cán), hoặc các phôi rèn → khả năng biến dạng dẻo không những giúp hiểu biết cơ sở quá trình mà còn giúp đề ra các biện pháp nâng cao cơ tính, khắc phục những khuyết tật.

2.1. Biến dạng dẻo và phá hủy

2.1.1. Khái niệm

Biểu đồ tải trọng (hay ứng suất) vs biến dạng hình 2.1. cho thấy:



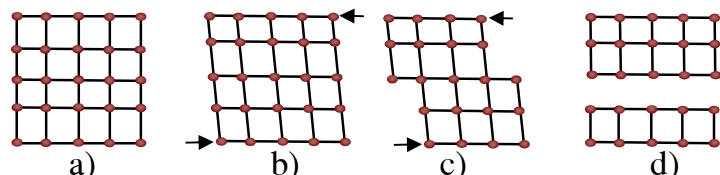
- Khi $F < F_{dh}$, độ giãn dài Δl tỷ lệ bậc nhất với tải trọng \rightarrow biến dạng đàn hồi. Với $F_1 \rightarrow$ biến dạng O1, bỏ tải trọng mấu lại trở lại kích thước ban đầu.
- Khi $F > F_{dh}$, độ biến dạng tăng nhanh theo tải trọng, khi bỏ tải trọng biến dạng vẫn còn lại một phần \rightarrow biến dạng dẻo. Khi $F = F_a \rightarrow$ biến dạng Oa'', khi $F=0 \rightarrow$ biến dạng Oa' \rightarrow biến dạng dẻo hay dure,

Hình 2.1. Biểu đồ kéo kim

Nếu tiếp tục tăng tải trọng đến giá trị cao nhất F_b , mấu bị thắt lại \rightarrow tải trọng $=\text{const}$ (hoặc \downarrow) nhưng \uparrow \rightarrow phá hủy ở điểm c.

Sự biến đổi về mạng tinh thể ở ba trạng thái trên trình bày ở hình 2.2.

Hình 2.2. Sơ đồ biến đổi mạng tinh thể khi lần lượt tăng tải trọng ban đầu (a), biến dạng đàn hồi (b), biến dạng dẻo (c), phá hủy (d)



Khi biến dạng đàn hồi thì biến dạng nhỏ $\Delta a < a$, biến dạng dẻo thì $\Delta a > a$, với a là thông số mạng

phá hủy các liên kết bị hủy hoại dẫn đến đứt rời.

Biến dạng dẻo = cách trượt (đôi khi xảy ra bằng song tinh), ở đây chỉ giới hạn khả năng biến dạng dẻo dưới hình thức này.

2.1.2. Trượt đơn tinh thể

Trượt là sự chuyển đổi tương đối giữa các phần của tinh thể theo những mặt và phương nhất định gọi là mặt và phương trượt (hình 2.3.)

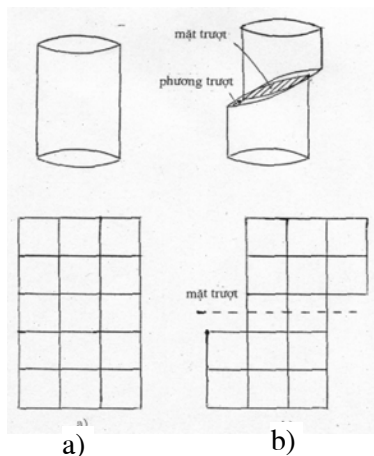
a. Các mặt và phương trượt

Mặt trượt là mặt (tường tượng) phân cách giữa hai mặt nguyên tử dày đặc nhất mà theo đó sự trượt xảy ra.

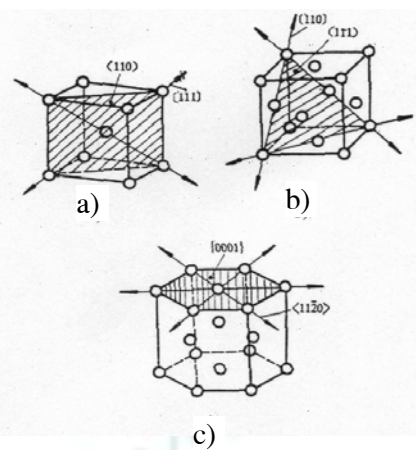
Các mặt và phương trượt của ba kiểu mạng tinh thể thường gặp được trình bày ở hình 2.4:

- Mạng lftm (A1): mặt trượt {111}, (4 mặt x 3 phương)=12 hệ trượt chí nh khác nhau.
- Mạng lftk (A2): mặt trượt {110}, (6 mặt x 2 phương)= 12 hệ trượt chí nh khác nhau.
- Mạng lgxc (A3): mặt trượt, (1 mặt x 3 phương)= 3 hệ trượt chí nh khác nhau.

- Ngoài các mặt, phương trượt chí nh kể trên còn có khả năng bị trượt theo các mặt, phương dà y đặ c khâ c tuy khô ng phâ i là dà y đặ c nhâ t.



Hì nh 2.3. Sơ đồ biểu diễn sự trượt: a. đơn tinh thể và mạng tinh thể trước khi trượt, b. hì nh dạng đơn tinh thể và mạng tinh thể sau khi trượt.



Hì nh 2.4. Các mặt và phương trượt cơ bản của kim loại:

- lập phương tâm khối, $<100>$
- lập phương tâm mặt, $<111>$
- lục giác xếp chât, $<0001>$

- Khả năng biến dạng dễ dàng của kim loại tỉ lệ thuận với số hệ trượt chí nh: số hệ trượt càng cao → khả năng trượt càng lớn → kim loại càng dễ biến dạng dễ dàng
- Thực tế đã chứng tỏ điều này: Fe, Al, Ag, Cu... (mạng A1) dễ dàng và dễ dát mỏng hơn Zn (A3).

So với lftk (A2) mạng lftm (A1) tuy cùng 12 hệ trượt nhưng dễ trượt hơn → tính dễ dát cao hơn

b. Ứng suất gây ra trượt

Đị nh luật Schmid.

Khi $\tau > \tau_{th}$ (xác đị nh đối với từng kim loại) → trượt mới xảy ra. Giá trị của $\tau = ?$

$$\tau = \frac{F}{S_0} \cos\alpha \cdot \cos\beta = \frac{F}{S_0} \sin\alpha \cdot \cos\alpha \cdot \cos\beta$$

trong đó F/S_0 là ứng suất kéo σ_0 thay và o ta có:

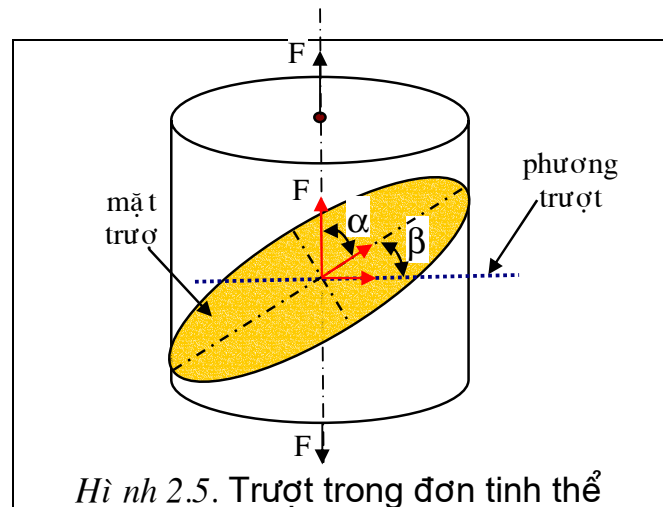
$\tau = 0,5\sigma_0 \sin 2\alpha \cos\beta$. Gọi $\cos\alpha \cdot \cos\beta$ là thừa số Schmid. Ứng suất gây ra trượt τ phụ thuộc và o góc β & α qua thừa số Schmid.

Khi $\alpha = 90^\circ$ hay $\beta = 90^\circ \rightarrow \tau = 0$, lực F chỉ làm phá hủy mà không xảy ra biến dạng dễ dàng.

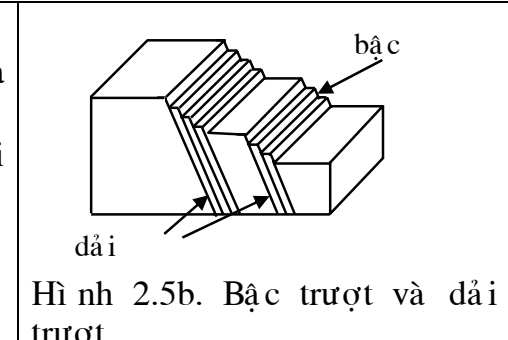
Khi $(\alpha+\beta) \neq 90^\circ$, $\tau_{max} = 0,5\sigma_0$ khi $\alpha = \beta = 45^\circ$.

Hệ trượt nào có τ_{max} → thuận lợi nhất → trượt xảy ra trước → các hệ í t thuận lợi hơn.

Hì nh thá i của trượt: hì nh 2.2c và 2.3b: các bậ c trượt, dải trượt.



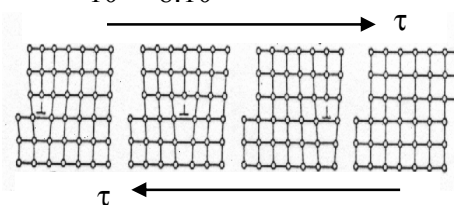
Hì nh 2.5. Trượt trong đơn tinh thể



Hì nh 2.5b. Bậc trượt và dải trượt

c. Tí nh dẽ trượt - cơ chế trượt

Độ bền lý thuyết: $\tau_{t,h} \approx \frac{G}{2\pi}$, \rightarrow rất cao. Thực tế có lệch $\tau_{t,h} \approx \frac{G}{10^3 \div 8 \cdot 10^4}$ rất nhỏ



Hì nh 2.6. Mô hì nh trượt trong mạng tinh thể thực tế (có lệch biến)

2.1.3. Trượt đa tinh thể

Vật liệu kim loại thực tế luôn luôn là VL đa tinh thể.

a. Các đặc điểm

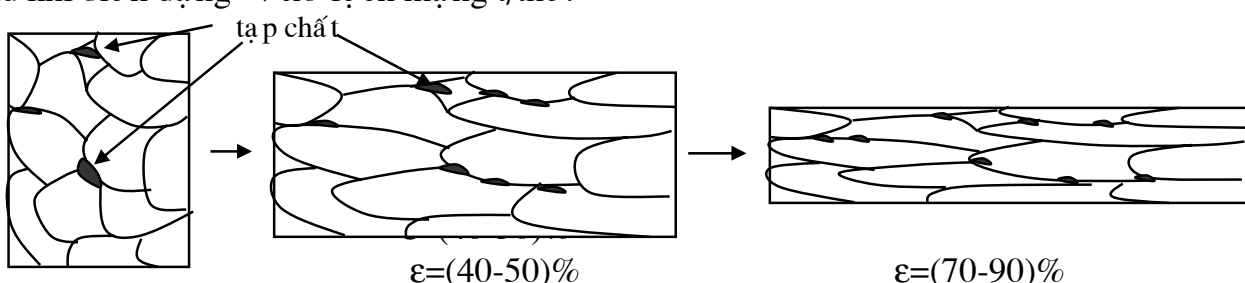
Đặc điểm của trượt đa tinh thể:

- 1) Các hạt bị biến dạng không đồng thời với mức độ khác nhau
- 2) Có tí nh đẳng hướng: số hạt vô cùng lớn
- 3) Đa tinh thể có độ bền cao hơn: Các hạt cản trở biến dạng lẫn nhau, biến đổi cản trượt. \rightarrow lực cao hơn \rightarrow độ bền cao hơn.
- 4) Hạt càng nhỏ độ bền và độ dẻo càng cao: hạt nhỏ có tổng diện tích biên hạt lớn hơn, sẽ cản trượt mạnh hơn nên làm tăng độ bền. Theo Hall - Petch: $\sigma_{ch} = \sigma_o + \frac{k}{\sqrt{d}}$,

Khi hạt nhỏ đi \rightarrow tăng độ dai \rightarrow vật liệu khó bị phá hủy giòn \rightarrow rất ưu việt

b. Tổ chức và tí nh chất của kim loại sau khi biến dạng dẻo

- 1) Sau khi biến dạng \rightarrow xô lệch mảng t/thể.



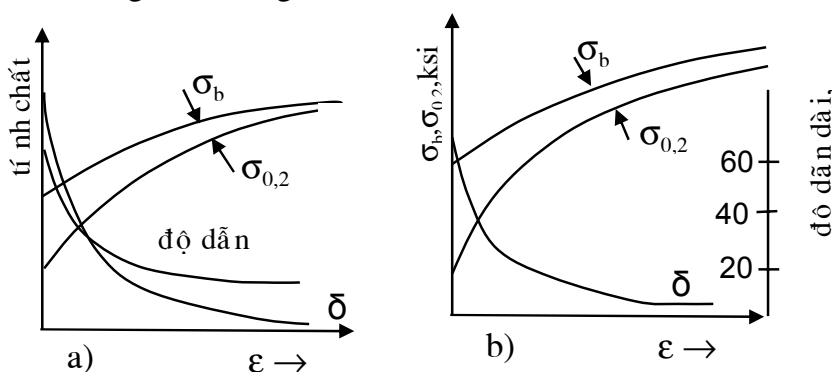
Hì nh 2.7. Sự thay đổi tổ chức sau biến dạng

Textua biến dạng. Ví dụ khi cán: Al mảng A1: - các mặt {110} song song với mặt cán

2) Biến dạng dẻo \rightarrow do xô lệch mảng \rightarrow ứng suất dư, \rightarrow cho cơ tí nh \uparrow , ứng suất nén dư bề mặt là mảng giới hạn mỗi: lăn ép, phun bi.

3) Xu hướng thay đổi cơ tí nh sau khi biến dạng dẻo (hì nh 2.8):

- . Bền ($\sigma_{dh}, \sigma_{0,2}$), cứng \uparrow , dẻo \downarrow
- . Dẫn điện và tí nh chống ăn mòn giảm



Hì nh 2.8. Ảnh hưởng của độ biến dạng đến cơ tí nh của kim loại nói chung (a) và Cu nói riêng (b).

2.1.4. Phá hủy

Ứng suất $> [\sigma_b] \rightarrow$ phá hủy do gãy, vỡ hoặc đứt (fractography).

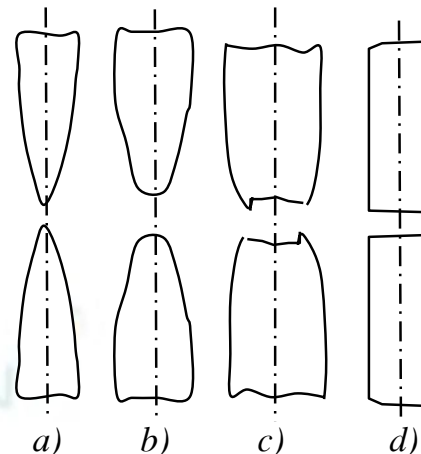
Đầu tiên xuất hiện vết nứt tách vi trên bề mặt hay ở sâu bên trong → phát triển vết nứt → phá hủy

Tuỳ theo tải trọng:

a. Tải trọng tĩnh

Tải trọng tĩnh: Phá hủy giòn và phá hủy dẻo

- Phá hủy dẻo kèm theo biến dạng dẻo
- Phá hủy giòn không kèm theo biến dạng
- Phá hủy giòn xảy ra đột ngột (d), phá hủy dẻo xảy ra từ từ (a) chậm (b), nhanh (c)
- Công cho phá hủy dẻo lớn hơn
- Phá hủy dẻo hay giòn do:
 - + bản chất VL: thép, Al, Cu → phá hủy dẻo, gang → giòn.
 - ceramic, polyme nhiệt rắn → phá hủy giòn



Hình 2.9. Các dạng mặt gãy khi phá hủy

+ $T^o \downarrow \rightarrow$ phá hủy giòn, tải trọng đặt vào nhanh, đột ngột → phá hủy giòn

-+ Kết cấu gãy tập trung ứng suất (hệ bậc đột ngột, rãnh, khí a, nứt...) → để gãy phá hủy giòn

Cơ chế phá hủy

Phá hủy theo 4 giai đoạn sau:

- 1) hình thành vết nứt (tách vi),
- 2) vết nứt tách vi phát triển dưới tới hạn, tới hạn
- 3) vết nứt tới hạn phát triển nhanh,
- 4) nứt chấm dứt và gãy rời,

trong đó các giai đoạn 1,2 và 3 được coi là quan trọng nhất, đáng để ý nhất.

Tập trung ứng suất

Theo A.A Griffith: σ_{max} :

$$\sigma_{max} = 2\sigma \sqrt{\frac{a}{\rho_t}} \quad (2.1)$$

Gọi $K_I = \frac{\sigma_{max}}{\sigma}$ là hệ số cường độ ứng suất,

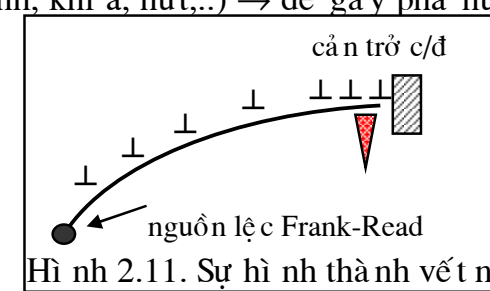
xác định bằng công thức:

$$K_I = Y\sigma\sqrt{\pi a} \quad (2.2)$$

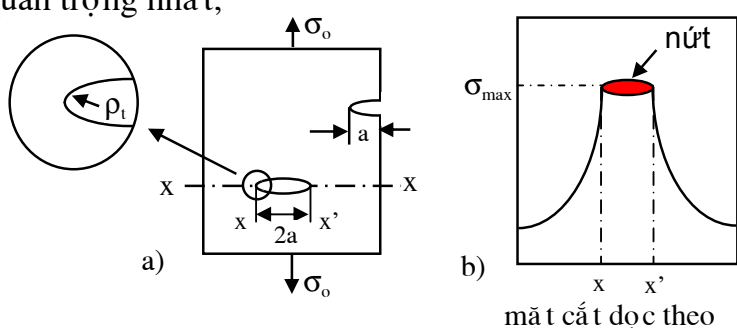
Đối với vật liệu giòn, ứng suất tới hạn σ_{gh} cần thiết để phát triển vết nứt là:

$$\sigma_{gh} = \sqrt{\frac{2E\gamma}{\pi a}} \quad (2.3)$$

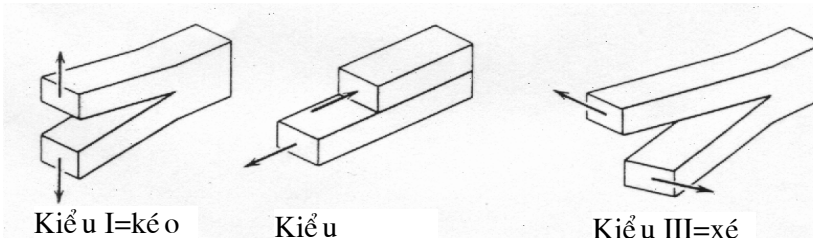
3 kiểu phát triển vết nứt thường gặp (hình 2.13):



Hình 2.11. Sự hình thành vết nứt



Hình 2.12. Sơ đồ vết rỗng (a) và sự phân bố ứng suất trên tiết diện cắt ngang qua vết rỗng



Hình 2.13. Ba kiểu tải trọng và lan chuyển vết nứt:

Kiểu I là kiểu thường gập hơn cả và được đưa vào tính toán.

Do tập trung ứng suất $\sigma \geq \sigma_{gh}$ (công thức 2.3) → vết nứt \uparrow gây phá huỷ giòn vật liệu. Giá trị hệ số cường độ ứng suất tương ứng tại đó được gọi là độ dai phá huỷ của vật liệu, ký hiệu là K_{IC} , đặc trưng cho mỗi loại vật liệu

$$K_{IC} = Y\sigma_{gh}\sqrt{\pi a}, [\text{N.m}^{3/2}] \text{ hay } [\text{MPa.m}^{1/2}], \text{xác định bằng thực nghiệm}$$

Đối với vật liệu dẻo (phân lớn kim loại và vật liệu polyme), đều có biến dạng dẻo trước khi phá hủy, điều đó làm cho đỉnh nứt tù (cùn, bớt sắc nhọn) đi, bán kính cong tăng lên, nhờ đó làm tăng σ_{gh} và K_{IC} .

Bảng 2.1. Giới hạn chảy và độ dai phá hủy biến dạng phẳng của một số loại vật liệu

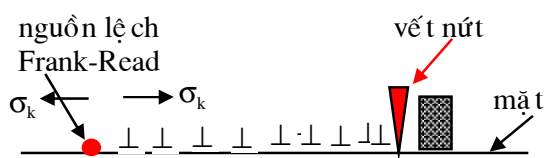
Vật liệu	$\sigma_{0,2}, \text{MPa}$	$K_{IC}, \text{MPa}\sqrt{\text{m}}$	Vật liệu	$\sigma_{0,2}, \text{MPa}$	$K_{IC}, \text{MPa}\sqrt{\text{m}}$
<u>Kim loai</u>			Ceramic và polyme		
Hợp kim nhôm 2024-T351	325	36	oxit nhôm	-	3-5,3
Hợp kim nhôm 7075-T651	505	29	Thuỷ tinh	-	0,7-0,8
Thép 4340, tôle +ram 260°C Thép 4340, tôle +ram 425°C	1640 1420	50 87,4	Bê tông	-	0,2-1,4
			Polyme ,PMMA Polystyren, PS	-	1,0 0,8-1,1

b. Trong điều kiện tải trọng thay đổi theo chu kỳ

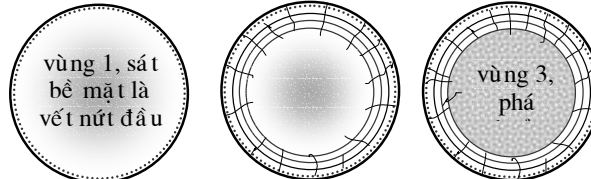
Cầu, trục, bánh răng... chịu tải trọng không lớn ($< \sigma_{0,2}$) nhưng thay đổi theo chu kỳ, vẫn có thể bị phá hủy sau thời gian dài và tương đối dài ($> 10^5 \div 10^6$ chu kỳ) → *phá hủy mồi*.

Cơ chế: từ vết nứt đầu tiên, thường nằm ở trên bề mặt là nơi chịu ứng suất kép lớn nhất, điều kiện thuận lợi → phát triển vết nứt.

Vết nứt tiến vi trên bề mặt: rỗ co, bọt khí, tạp chất, xước, lồi lõm → tăng độ bóng bề mặt
Vết nứt có thể sinh ra dưới tác dụng của tải trọng thay đổi theo chu kỳ (hình 2.15a).



Hình 2.15a. Sơ đồ hình thành vết nứt



Hình 2.15b. Sơ đồ mặt gãy khi phá hủy mồi

Mặt gãy ở chỗ phá hủy mồi (hình 2.15b).

2.2. Các đặc trưng cơ tính thông thường và ý nghĩa

Cơ tính cho biết khả năng chịu tải của vật liệu trong các điều kiện tương ứng, là cơ sở của các tính toán sức bền, khả năng sử dụng vào một mục đích nhất định. Các đặc trưng cơ tính được xác định trên các mẫu chuẩn.

Thường gặp nhất là độ bền, độ dẻo, độ cứng, độ dai và đập, độ dai phá hủy.

2.2.1. Độ bền (tính)

Tùy theo đặc điểm của tải trọng người ta phân biệt độ bền kéo, nén, uốn, xoắn... *Bền và độ dẻo khi kéo là thông dụng hơn cả nên không cần phải ghi chú, trường hợp còn lại đều phải ghi chú (nén, uốn hay xoắn...).*

a. Các chỉ tiêu

Đặc trưng cho độ bền tinh: σ_{dh} , σ_c , σ_b ; kG/mm^2 , MPa , psi , ksi (Anh & Hoa Kỳ),. Quan hệ giữa các đơn vị thường gặp như sau:

$$1kG/mm^2 \approx 10MPa, 1kG/mm^2 \approx 1,45 ksi, 1ksi = 10^3 psi$$

Giới hạn đàn hồi σ_{dh} , khó xác định → chấp nhận $\sigma_{0,01}$ hay $\sigma_{0,05}$ theo công thức:

$$\sigma_{dh} = \frac{F_{dh}}{S_0} MPa, \quad \rightarrow \quad \sigma_{0,01} = \frac{F_{0,01}}{S_0} MPa, \quad \text{hay} \quad \sigma_{0,05} = \frac{F_{0,05}}{S_0} MPa,$$

Giới hạn chảy vật lý σ_{ch} ,

Giới hạn chảy quy ước $\sigma_{0,2}$, [MPa]

Giới hạn bền σ_b : $\sigma_b = \frac{F_b}{S_0}$, [MPa], trong đó:

b. Các yếu tố ảnh hưởng

Các phương pháp nâng cao độ bền:

giảm hoặc tăng mật độ lêch.

- . Giảm: Sợi Fe là 13000MPa, Fe armco 250MPa
- . Tăng: biến dạng nguội, hợp kim hóa, nhiệt luyện,...

c. Các biện pháp hóa bền vật liệu

Biến dạng dẻo: → tăng mật độ lêch → tăng độ bền:

dập, gò, uốn, gấp, kéo, cán nguội → biến cứng, tăng bền

Hợp kim hóa: đưa nguyên tử lỏng và o → tăng xô lêch mạng và mật độ lêch → tăng độ bền,
Tạo các pha cứng phân tán hay hóa bền tiết pha:

Nhiệt luyện tôi + ram: tôi và sau đó là ram - tạo nên sự quá bão hòa → tăng độ bền, độ cứng

Hóa - nhiệt luyện: thấm C, N... tăng bền, cứng, chịu mài mòn, nâng cao bền mỗi

Làm nhỏ hạt: làm hạt nhỏ nhất là làm tăng tất cả các chỉ tiêu bền, dẻo, dai.

2.2.2. Độ dẻo

Độ dẻo là khả năng biến dạng của vật liệu dưới tải trọng

$$\text{a. 2 chỉ tiêu} \quad : \delta = \frac{l_1 - l_0}{l_0} 100\%, \quad \psi = \frac{S_0 - S_1}{S_0} 100\%$$

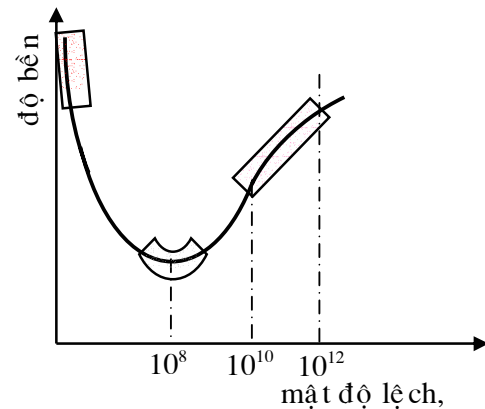
b. Tính siêu dẻo

D/N: Vật liệu có δ tối đa 100% ($100 \div 1000\%$), được gọi là *siêu dẻo*,

Công dụng: chế tạo các sản phẩm rỗng, dài với tiết diện không đồng đều: chai, lọ, ống,..

Chế tạo: tạo tính siêu dẻo bằng cách:

- tạo tổ chức hạt rất nhỏ, (cỡ hạt khoảng $10\mu m$), thẳng trực, đồng đều và ổn định khi biến dạng, đây là yếu tố quan trọng nhất,
- biến dạng ở nhiệt độ cao, cỡ ($0,6 \div 0,85$) T_C° ,
- tốc độ biến dạng rất chậm, cỡ $10^{-4} \div 10^{-3} s^{-1}$ (tức $0,01 \div 0,1\%/s$).

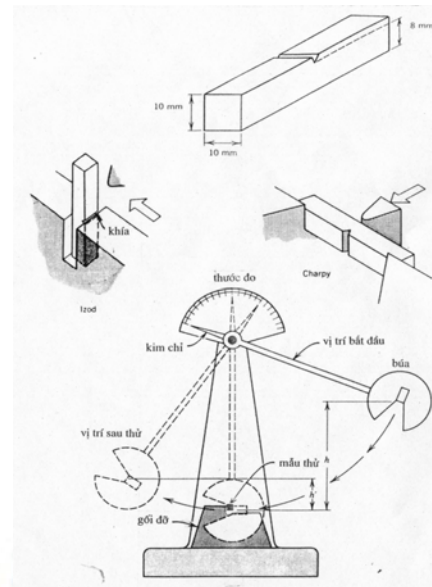
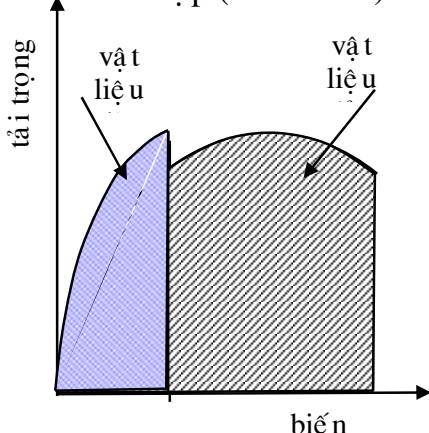


Hình 2.16. Thay đổi độ bền theo mật độ lêch

Trượt khi siêu dẻo xảy ra chủ yếu theo biên hạch

2.2.3. Độ dai và đập: Hình 2.17: công phá huỷ

Sơ đồ thử và đập (hình 2.18).



Hình 2.17. Công phá huỷ vật liệu

Hình 2.18. Sơ đồ thử độ dai và đập

2 loại mẫu thử độ dai và đập: 10x10mm dài 55mm (mẫu Charpy) và 75mm (Izod) với rãnh khí a hình chữ U hay chữ V: (để tập trung ứng suất) rộng 2mm (2x2mm). TCVN chỉ quy định thử theo mẫu Charpy và ký hiệu độ dai và đập bằng a_K :

Định nghĩa: Độ dai và đập là công phá huỷ tí nh cho một đ.v. tiếp diện cắt ngang mẫu:

$$\text{Công thức tí nh: } a_K = \frac{A_K}{S}, [\text{J/cm}^2] \text{ hay } [\text{kJ/m}^2]$$

trong đó: A_K là công phá huỷ, J ; S tiếp diện mẫu tại chỗ rãnh khí a ($0,8\text{cm}^2$)

Đơn vị : $[\text{J/cm}^2]$, $[\text{kJ/m}^2]$, $[\text{kgm/cm}^2]$

$$1\text{Gm/cm}^2 \approx 10\text{J/cm}^2; \quad 1\text{kJ/m}^2 \approx 0,01\text{Gm/cm}^2; \quad 1\text{Gm/cm}^2 \approx 100\text{kJ/m}^2$$

Phạm vi áp dụng:

Chi tiết chịu va đập $a_K \text{ min} = 200\text{kJ/m}^2$ (2Gm/cm^2), và đập cao phải có $a_K \geq 1000\text{kJ/m}^2$. **Biện pháp tăng a_K :**

Nếu coi a_K tỷ lệ với tí ch ($\sigma_{0,2} \times \delta$) → để $\uparrow a_K$ t \uparrow đồng thời $\sigma_{0,2}$ & δ do đó:

- *Làm cho hạt nhỏ mịn* là phương pháp tốt nhất để $\uparrow a_K$.

- *Hóa bền bề mặt*: tôi bền mặt, hóa - nhiệt luyện → vừa \uparrow bền, cứng, tí nh chống mài mòn mà vẫn cho a_K cao, chống va đập tốt.

- *Tạo hạt tròn*, đa cạnh có độ dai cao hơn khi hạt có dạng tấm, hình kim.

- Giảm số lượng, kí ch thước, tạo hạt càng tròn, phân bố đều của các pha rãnh → $\uparrow a_K$.

2.2.4. Độ dai phá hủy biến dạng phẳng (plane - strain fracture toughness), K_{IC}

Mẫu thử: hình 2.19 là dạng mẫu đơn giản nhất, vết nứt mỏi:

- phải cùng chiều với rãnh khí và chạy dài trên suốt chiều dài của mẫu $B = W/2$,

- trên cả hai bề mặt ngoài, cả 2 bên vết nứt mỏi phải ăn sâu và oít nhất là 1,3

- chiều dài a (bằng rãnh ban đầu + nứt mỏi) phải $\sim B$ hay $0,45 \div 0,55W$.

Quy trình thử:

- đặt ngầm trực và o hai lỗ, tác dụng lực kéo để rãnh khí và nứt mỏi được mở rộng ra (nứt phát triển theo kiểu I).

- Xây dựng biểu đồ tải trọng kéo - độ mở của rãnh v như hình 2.20.